

УДК 621.372.4:537.52

ОПРЕДЕЛЕНИЕ ОПТИМАЛЬНОЙ ФОРМЫ ВОЗДЕЙСТВУЮЩЕГО ИМПУЛЬСА ОЗОНАТОРА

Ю.Н. Исаев, В.А. Колчанова, О.П. Шпильная, Е.О. Кулешова

Томский политехнический университет

E-mail: Isaev_Yusup@mail.ru

Показана возможность определения оптимального вида входного напряжения для электротехнических схем замещения первого и второго порядков барьерного разряда. Представлен алгоритм определения оптимальной формы воздействующего импульса напряжения, обуславливающего потребление минимальной энергии электротехническими элементами схемы замещения озонатора.

В системах газо- и водоочистки большой интерес представляет использование импульсного барьерного разряда. Успешно осуществляемая в данном разряде реакция образования озона является одним из немногих плазмохимических процессов, реализованных в промышленном масштабе, причем мощности озонаторных установок непрерывно растут. Этот тип разряда характеризуется, с одной стороны, сравнительно высокой средней энергией электронов 4...5 эВ и с другой – низкой температурой газа, которая близка к температуре электродов. При этом энергия, вложенная в разряд, выделяется в короткоживущих малоинтенсивных искрах – микроразрядах. Сочетание всех этих условий делает барьерный разряд эффективным для осуществления реакций конденсации: и действительно, кроме уже упомянутого процесса образования озона в нем можно проводить многие десятки органических и неорганических синтезов.

При феноменологическом описании электрических разрядов наибольшим успехом пользуется их описание как объектов электрической цепи [1–4]. В основе таких подходов лежит замена электрического разряда некой эквивалентной схемой замещения, состоящей из стандартных электротехнических элементов. Особенности протекания физических процессов определяются формой воздействующего напряжения. В ряде случаев эффективнее оказывается использование импульсного напряжения питания.

На рис. 1 приведена электротехническая схема замещения первого порядка для барьерного разряда, предложенная авторами [2]. Суть данной работы заключается в том, что бы выбрать такую форму воздействующего напряжения, при котором входной генератор выделял (затрачивал) бы наименьшую энергию для достижения заданного значения напряжения на конденсаторе в фиксированный момент времени. Рассмотрим решение такой задачи для схемы, представленной на рис. 1.

Для решения поставленной вариационной задачи [5, 6] необходимо определить переходную функцию по напряжению – $h(t)$, связывающую входное напряжение $u(t)$ с напряжением на конденсаторе $u_c(t)$.

Переходная функция – реакция цепи на единичное воздействие, поэтому, считая, что входное напряжение равняется единице, получаем:

$$h(t) = 1 - e^{-\frac{t}{RC}}. \quad (1)$$

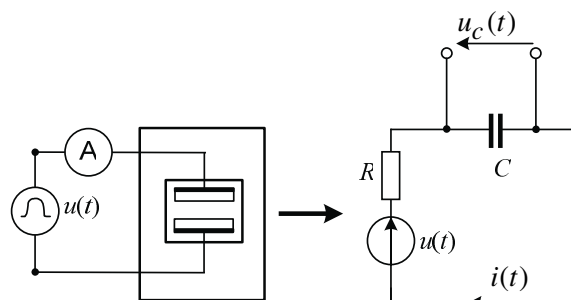


Рис. 1. Электротехническая схема замещения первого порядка разрядного промежутка озонатора

Используя интеграл Дюамеля, можно записать напряжение на конденсаторе с учетом импульса воздействующего напряжения и полученной переходной функции (1):

$$u_c(t) = \int_0^t \frac{dh(t-\tau)}{d\tau} u(\tau) d\tau = \frac{1}{RC} \int_0^t u(\tau) e^{-\frac{1}{RC}(t-\tau)} d\tau. \quad (2)$$

По условию задачи необходимо минимизировать функционал энергии генератора:

$$u_c(t) = \int_0^t \frac{dh(t-\tau)}{d\tau} u(\tau) d\tau = \frac{1}{RC} \int_0^t u(\tau) e^{-\frac{1}{RC}(t-\tau)} d\tau. \quad (3)$$

при $t=T$ и дополнительном условии выполнения (2).

Для вариации функционала необходимо выразить ток в цепи $i(t)$, через входное напряжения $u(t)$ и напряжение на конденсаторе $u_c(t)$:

$$i(t) = \frac{u(t) - u_c(t)}{R} \quad (4)$$

и, подставляя полученное соотношение (4) в выражение (3), с учетом (2) получаем:

$$\begin{aligned} W &= \int_0^T i(t) u(t) dt = \frac{1}{R} \int_0^T (u(t) - u_c(t)) u(t) dt = \\ &= \frac{1}{R} \int_0^T \left(u(t) - \frac{1}{RC} \int_0^t u(\tau) e^{-\frac{1}{RC}(t-\tau)} d\tau \right) u(t) dt = \\ &= \frac{1}{R} \int_0^T u^2(t) dt - \frac{1}{R^2 C} \int_0^T \int_0^t u(\tau) e^{-\frac{1}{RC}(t-\tau)} d\tau u(t) dt. \end{aligned} \quad (5)$$

Теперь можно осуществить условную минимизацию функционала (5) с дополнительным условием (2), которую формально можно записать так [5]:

$$L = W + \lambda \cdot u_c, \quad \delta L = 0,$$

или с учётом фильтрующих свойств дельта-функции

$$\delta(x-t) = \begin{cases} 0 & \text{при } t \neq x; \\ \infty & \text{при } t = x \end{cases}$$

и свойств функциональных производных [5]:

$$\frac{\delta f(\varphi(x))}{\delta \varphi(t)} = \frac{\partial f(\varphi(x))}{\partial \varphi} \frac{\delta \varphi(x)}{\delta \varphi(t)}; \quad \frac{\delta \varphi(x)}{\delta \varphi(t)} = \delta(x-t),$$

можно записать в развёрнутом виде:

$$\begin{aligned} \delta L = & \frac{1}{R} \int_0^T \frac{\partial u^2(t)}{\partial u} \delta(t-\tau) dt - \\ & - \frac{1}{R^2 C} \int_0^T dt \int_0^t \frac{\partial u(t)}{\partial u} u(\tau) \delta(t-\tau) e^{-\frac{1}{RC}(t-\tau)} d\tau + \\ & - \frac{1}{R^2 C} \int_0^T dt \int_0^t \frac{\partial u(\tau)}{\partial u} u(t) \delta(t-\tau) e^{-\frac{1}{RC}(t-\tau)} d\tau + \\ & + \frac{\lambda}{RC} \int_0^T \frac{\partial u(\tau)}{\partial u} \delta(t-\tau) e^{-\frac{1}{RC}(T-\tau)} d\tau = 0. \end{aligned} \quad (6)$$

После простых преобразований получаем, (по-яснения приводятся на рис. 2):

$$\begin{aligned} \int_0^T dt \int_0^t d\tau \rightarrow \int_0^T d\tau \int_\tau^T dt = \int_0^T dt \int_t^T d\tau \\ \delta L = \frac{2u(t)}{R} - \frac{1}{R^2 C} \int_0^t d\tau u(\tau) e^{-\frac{1}{RC}(t-\tau)} - \\ - \frac{1}{R^2 C} \int_t^T d\tau u(\tau) e^{-\frac{1}{RC}(t-\tau)} + \frac{\lambda}{RC} e^{-\frac{1}{RC}(T-t)} = \\ = \frac{2u(t)}{R} - \frac{1}{R^2 C} \int_0^T d\tau u(\tau) e^{-\frac{1}{RC}|t-\tau|} + \\ + \frac{\lambda}{RC} e^{-\frac{1}{RC}(T-t)} = 0. \end{aligned} \quad (7)$$

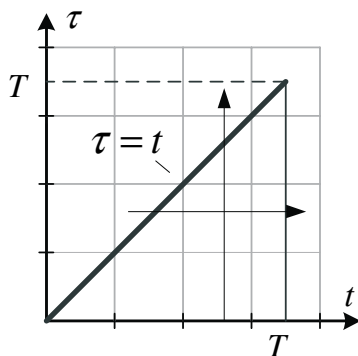


Рис. 2. Расстановка пределов интегрирования в кратном интеграле

Таким образом, мы получили интегральное уравнение Фредгольма второго рода, относительно неизвестной функции $u(t)$ – входного напряжения:

$$u(t) - \frac{1}{2RC} \int_0^T d\tau u(\tau) e^{-\frac{1}{RC}|t-\tau|} = -\frac{\lambda}{2C} e^{-\frac{1}{RC}(T-t)}. \quad (8)$$

Осуществляя алгебраизацию ур. (8), получаем систему линейных алгебраических уравнений относительно искомой функции входного напряжения $u(t)$

$$\Delta t \sum_{s=0}^N g_{k,s} \cdot u_s + u_k = -\lambda \cdot h_k, \quad (9)$$

где

$$h_k = \frac{1}{2C} e^{-\frac{1}{RC}(T-t_k)}; \quad g_k = \frac{-1}{2RC} e^{-\frac{1}{RC}|t_k|};$$

$$g_{k,s} = g(|t_k - t_s|); \quad \Delta t = \frac{T}{N}$$

– шаг дискретизации; $s, p \in 0..N$; N – число точек дискретизации временного интервала. Запишем решение уравнения (9) в матричной форме, введя обозначения, $\mathbf{E}=\{1\}$ – единичная матрица, $\mathbf{G}=\{g_{k,s}\}$ – матрица проводимости, $\mathbf{L}=\{-\lambda \cdot h_k\}$ – матрица, образованная правой частью уравнения (9):

$$\mathbf{K} = \mathbf{G} + \frac{\mathbf{E}}{\Delta t}, \quad \rightarrow \quad \mathbf{U} = \mathbf{K}^{-1} \cdot \mathbf{L}.$$

На рис. 3 приведён результат восстановления фронта импульса входного напряжения для модельных параметров схемы $R=10$ Ом; $C=40$ мкФ и длительности импульса $T=1$ мкс.

На рис. 4 представлены расчетные графики энергий для трёх разных форм импульсов входного напряжения (рис. 4, а, б). Сплошной линией показано входное напряжение – оптимальной расчётной формы и соответствующая ему затраченная энергия генератора, пунктиром и штрих-пунктиром изображены неоптимальные импульсы входного напряжения и соответствующие им энергии. На графике видно, что энергия, выделяемая при оптимальной форме воздействующего напряжения, имеет меньшее значение по сравнению с энергиями, полученными в результате воздействия других импульсов.

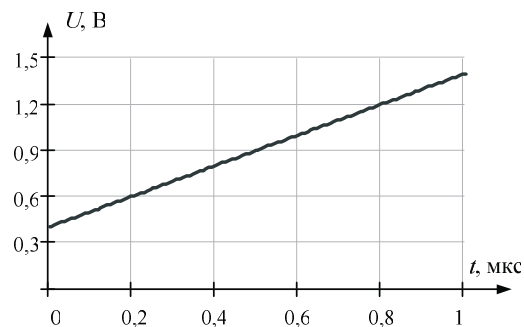


Рис. 3. Оптимальная форма импульса входного напряжения, полученная в результате расчёта

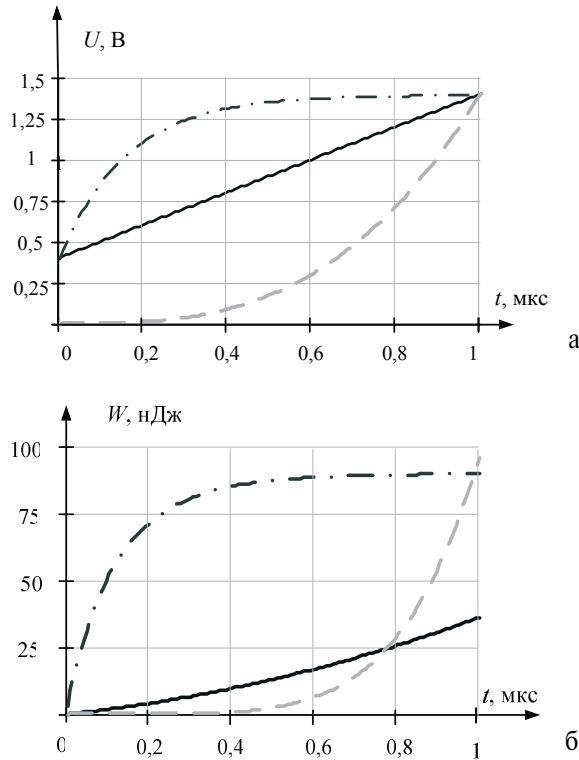


Рис. 4. Различные формы модельных импульсов входного напряжения и соответствующее им распределение энергии

В ряде случаев необходимо учесть влияние проводимости межэлектродной субстанции ($1/R_2$ на рис. 5), например, в цепи второго порядка. Рассмотрим алгоритм определения оптимальной формы воздействующего импульса, обуславливающей потребление минимальной энергии электротехническими элементами схемы замещения озонатора — цепи второго порядка на примере модельной задачи. Выберем в качестве величин цепи параметры: $C_1 = 5 \cdot 10^{-11}$ Ф, $C_2 = 4 \cdot 10^{-10}$ Ф, $R_1 = 15$ Ом, $R_2 = 15$ Ом.

Схема замещения барьерного разряда представлена на рис. 5, где C_1 — ёмкость барьеров, ёмкость воздушной среды с вкрапленными каплями воды — C_2 , сопротивление схемы — R_1 , сопротивление межэлектродной субстанции — R_2 .

Для решения поставленной вариационной задачи, как было показано выше, определим переходную функцию по напряжению — $h(t)$, связывающую входное напряжение $u(t)$ с напряжением на конденсаторе $u_{C_2}(t)$ для схемы, изображённой на рис. 5.

Считая, что входное напряжение равняется единице, получаем:

$$h(t) = A_1 e^{p_1 t} + A_2 e^{p_2 t}, \quad (10)$$

где

$$p_{1,2} = \frac{1}{2 \cdot R_1 \cdot C_1 \cdot R_2 \cdot C_2} \times \left[-R_2 \cdot (C_2 + C_1) - R_1 \times \right. \\ \left. \times C_1 \pm \sqrt{R_2^2 C_2 (C_2 + 2C_1 + C_1^2) +} \right. \\ \left. + R_1 \cdot C_1 (C_1 \cdot R_1 - 2 \cdot R_2 \cdot C_2 + 2 \cdot C_1 \cdot R_2) \right]$$

— корни характеристического уравнения, A_1, A_2 — постоянные интегрирования, определяемые из начальных условий по системе уравнений

$$\begin{cases} A_1 + A_2 = 0; \\ A_1 p_1 + A_2 p_2 = \frac{1}{R_1 \cdot C_2}; \end{cases} \quad A_1 = -A_2 = \frac{1}{(p_1 - p_2) R_1 \cdot C_2}.$$

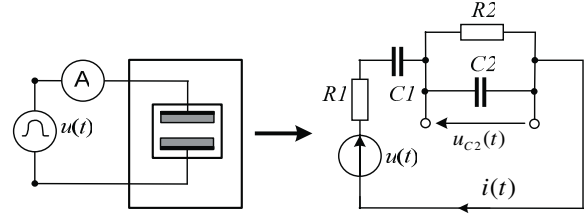


Рис. 5. Схема замещения барьерного разряда — цепь второго порядка

Используя интеграл Дюамеля, можно записать напряжение на конденсаторе с учетом импульса воздействующего напряжения и полученной переходной функции (10):

$$\begin{aligned} u_{C_2}(t) &= \int_0^t \frac{dh(t-\tau)}{d\tau} u(\tau) d\tau = \\ &= \int_0^t u(\tau) (p_1 A_1 e^{p_1(t-\tau)} + p_2 A_2 e^{p_2(t-\tau)}) d\tau, \\ H(t-\tau) &= p_1 A_1 e^{p_1(t-\tau)} + p_2 A_2 e^{p_2(t-\tau)}, \\ u_{C_2}(t) &= \int_0^t u(\tau) H(t-\tau) d\tau. \end{aligned} \quad (11)$$

По условию задачи необходимо минимизировать функционал энергии генератора:

$$W(t) = \int_0^t i(t) u(t) dt, \quad (12)$$

при $t=T$ и дополнительном условии выполнения (11).

Для вариации функционала необходимо выразить ток в цепи $i(t)$ через входное напряжение $u(t)$ и напряжение на конденсаторе $u_{C_2}(t)$:

$$i(t) = i_{R_2}(t) + i_{C_2}(t) = \frac{u_{C_2}(t)}{R_2} + C_2 \frac{du_{C_2}(t)}{dt}.$$

Подставляя полученное соотношение в выражение (12), с учетом (11) получаем:

$$\begin{aligned} W &= \int_0^T i(t) u(t) dt = \int_0^T \left(\frac{u_{C_2}(t)}{R_2} + C_2 \frac{du_{C_2}(t)}{dt} \right) u(t) dt = \\ &= \frac{1}{R_2} \int_0^T u_{C_2}(t) u(t) dt + C_2 \int_0^T \frac{du_{C_2}(t)}{dt} u(t) dt = \\ &= \frac{1}{R_2} \int_0^T u(t) dt \int_0^t u(\tau) H(t-\tau) d\tau + \\ &+ C_2 \int_0^T u(t) dt \frac{d}{dt} \left(\int_0^t u(\tau) H(t-\tau) d\tau \right). \end{aligned} \quad (13)$$

Теперь можно осуществить условную минимизацию функционала (13) с дополнительным условием (11), которую формально можно записать так:

$$\begin{aligned} L &= W + \lambda \cdot u_c, \quad \delta L = 0, \\ L &= \frac{1}{R_2} \int_0^T u(t) dt \int_0^t u(\tau) H(t-\tau) d\tau + \\ &+ C2 \int_0^T u(t) dt \frac{d}{dt} \left(\int_0^t u(\tau) H(t-\tau) d\tau \right) + \\ &+ \lambda \int_0^t u(\tau) H(t-\tau) d\tau = 0. \end{aligned}$$

С учётом изложенного ранее, можно записать:

$$\begin{aligned} \frac{\delta}{\delta u} \left[\frac{1}{R_2} \int_0^T dt u(t) \int_0^t u(\tau) H(t-\tau) d\tau \right] &= \\ = \frac{1}{R_2} \int_0^T d\tau u(\tau) H(|t-\tau|); \end{aligned} \quad (14)$$

$$\frac{\delta}{\delta u} \left(\lambda \int_0^t u(\tau) H(t-\tau) d\tau \right) = \lambda \cdot H(T-t). \quad (15)$$

Выразим в виде суммы двух слагаемых:

$$\begin{aligned} H_1(t-\tau) &= p_1 A_1 e^{p_1(t-\tau)} + p_2 A_2 e^{p_2(t-\tau)} = \\ &= H_1(t-\tau) + H_2(t-\tau); \end{aligned}$$

$$H_1(t-\tau) = e^{p_1 t} H_1(-\tau); \quad H_2(t-\tau) = e^{p_2 t} H_2(-\tau),$$

тогда

$$\begin{aligned} C2 \int_0^T u(t) dt \frac{d}{dt} \left(\int_0^t u(\tau) H(t-\tau) d\tau \right) &= C2 A_1 p_1 \int_0^T u^2(t) dt + \\ &+ C2 p_1 \int_0^T u(t) dt \int_0^t u(\tau) d\tau H_1(t-\tau) + \\ &+ C2 A_2 p_2 \int_0^T u^2(t) dt + C2 p_2 \int_0^T u(t) dt \int_0^t u(\tau) d\tau H_2(t-\tau). \end{aligned}$$

Как было показано выше в (6–8)

$$\frac{\delta}{\delta u} \left(C2 A_1 p_1 \int_0^T u^2(t) dt \right) = C2 A_1 p_1 2u(t); \quad (16)$$

$$\frac{\delta}{\delta u} \left(C2 A_2 p_2 \int_0^T u^2(t) dt \right) = C2 A_2 p_2 2u(t). \quad (17)$$

По аналогии с (14):

$$\begin{aligned} \frac{\delta}{\delta u} \left(C2 p_1 \int_0^T u(t) dt \int_0^t u(\tau) d\tau H_1(t-\tau) \right) &= \\ = C2 p_1 \int_0^T d\tau u(\tau) H_1(|t-\tau|); \end{aligned} \quad (18)$$

$$\begin{aligned} \frac{\delta}{\delta u} \left(C2 p_2 \int_0^T u(t) dt \int_0^t u(\tau) d\tau H_2(t-\tau) \right) &= \\ = C2 p_2 \int_0^T d\tau u(\tau) H_2(|t-\tau|). \end{aligned} \quad (19)$$

Тогда результирующее выражение для минимизируемого функционала с учётом (14–19)

$$\begin{aligned} \delta L &= \frac{1}{R_2} \int_0^T d\tau u(\tau) H(|t-\tau|) + 2 \cdot C2 (A_1 p_1 + A_2 p_2) u(t) + \\ &+ C2 p_1 \int_0^T d\tau u(\tau) H_1(|t-\tau|) + \\ &+ C2 p_2 \int_0^T d\tau u(\tau) H_2(|t-\tau|) + \lambda \cdot H(T-t) = 0. \end{aligned}$$

Это интегральное уравнение Фредгольма второго рода относительно переходной проводимости неизвестной функции входного напряжения $u(t)$:

$$\begin{aligned} 2 \cdot C2 \cdot (A_1 p_1 + A_2 p_2) \cdot u(t) + \frac{1}{R_2} \int_0^T d\tau u(\tau) H(|t-\tau|) + \\ + C2 \cdot p_1 \int_0^T d\tau u(\tau) H_1(|t-\tau|) + \\ + C2 \cdot p_2 \int_0^T d\tau u(\tau) H_2(|t-\tau|) = -\lambda \cdot H(T-t). \end{aligned} \quad (20)$$

Осуществляя алгебраизацию уравнения (20), получаем систему линейных алгебраических уравнений относительно $u(t)$

$$\Delta t \sum_{s=0}^N g_{k,s} \cdot u_s + M \cdot u_k = -\lambda \cdot h_k, \quad (21)$$

где

$$M = 2 \cdot C2 (A_1 p_1 + A_2 p_2); \quad h_k = H(T-t_k);$$

$$g_k = \frac{1}{R2} H(|t_k|) + C2 p_1 H_1(|t_k|) + C2 p_2 H_2(|t_k|);$$

$$g_{k,s} = g(t_k - t_s); \quad \Delta t = T/N$$

— шаг дискретизации; $s, p \in 0..N$; N — число точек дискретизации временного интервала. Запишем решение уравнение (20) в матричной форме, введя обозначения, $\mathbf{E} = \{1\}$ — единичная матрица, $\mathbf{G} = \{g_{k,s}\}$ — матрица проводимости, $\mathbf{L} = \{-\lambda \cdot h_k\}$ — матрица, образованная правой частью уравнения (21):

$$\mathbf{K} = \mathbf{G} + \frac{M}{\Delta t} \mathbf{E}, \quad \rightarrow \quad \mathbf{U} = \mathbf{K}^{-1} \cdot \mathbf{L}.$$

Таким образом, представленный авторами алгоритм может быть использован для оптимизации работы озонатора. Энергия, выделяемая генератором озонатора при оптимальной форме воздействующего напряжения, имеет меньшее значение по сравнению с энергией, полученной в результате воздействия импульса неоптимальной формы.

СПИСОК ЛИТЕРАТУРЫ

1. Самойлович В.И., Гибалов К.В., Козлов В.К. Физическая химия барьерного разряда. – М.: Изд-во Московского ун-та, 1989. – 176 с.
2. Исаев Ю.Н., Колчанова В.А., Хохлова Т.Е. Определение параметров двухполюсника при воздействии импульсного напряжения // Электричество. – 2003. – № 11. – С. 64–67.
3. Лунин В.В., Попович М.П., Ткаченко С.Н. Физическая химия озона. – М.: Изд-во Московского ун-та, 1998. – 198 с.
4. Райзер Ю.П. Физика газового разряда. – М.: Наука, 1992. – 535 с.
5. Райзер Ю.П. Высокочастотный емкостный разряд. Физика. Техника эксперимента. Приложения. – М.: Изд-во МФТИ: Наука: Физматлит, 1995. – 320 с.
6. Эльсгольц Л.Э. Дифференциальные уравнения и вариационное исчисление. – М.: Наука, 1969. – 424 с.
7. Карташев А.П. Обыкновенные дифференциальные уравнения и основы вариационного исчисления. – М.: Наука, 1976. – 255 с.